



# Investigation of the Effect of Mechanical Milling and Alloying Parameters for the Preparation of Al-6063SiC Composite Powder from Al6063 Alloy Chips

## ARTICLE INFO

**Article Type**  
Original Research

**Authors**  
Fekri Dolatabad P.<sup>1</sup>  
Pouyafar V.<sup>1</sup>  
Meshkabadi R.<sup>2\*</sup>

### How to cite this article

Fekri Dolatabad P, Pouyafar V, Meshkabadi R. Investigation of the Effect of Mechanical Milling and Alloying Parameters for the Preparation of Al-6063SiC Composite Powder from Al6063 Alloy Chips.; Engineering. 2022; 22(02):133-142.

## ABSTRACT

The defectless microstructure of metal matrix composites, the uniform distribution of particles, and their good properties are determined by the production parameters and their material. In this study, Al6063-SiC composite powder was fabricated by a high-energy planetary ball mill. Aluminum chips were milled at different times and ball to powder weight ratio (BPR) in a high-energy planetary ball mill. The resulting powder was mechanically alloyed by adding different weight percentages of silicon carbide (SiC) under different BPRs and times. During the milling process under argon atmosphere, stearic acid was used as a process control agent (PCA) to prevent excessive cold welding and powder agglomeration. After mechanical alloying, the effect of alloying time, BPR, and weight percentage of silicon carbide on the powder morphology were studied by particle size analysis (PSA), field emission scanning electron microscope (FESEM), and the fuzzy compounds were analyzed by X-ray diffraction (XRD). According to the X-ray diffraction patterns, the grain size was calculated using the Williamson-Hall model. The results of mechanical milling and alloying have shown that in short milling times with high BPRs, composite powder with finer particle size could be achieved. Also, the presence of reinforcement particles accelerates the process of mechanical alloying and further reduces the particle size.

**Keywords** Metal-Matrix Composites, Mechanical Milling, Mechanical Alloying, Al6063-SiC Composite.

## CITATION LINKS

- [1] An experimental investigation of energy absorption in GLARE fiber metal laminates ...
- [2] Manufacturing of metal matrix composites: A state of review. [3] In situ synthesis of nanocrystalline Al6063 matrix nanocomposite powder ... [4] Effect of volume fraction of reinforcement and milling time on physical and mechanical ... [5] On the mechanical properties of hybrid aluminium 7075 matrix composite material ... [6] Recent progress in aluminum metal matrix composites: A review on processing, mechanical ... [7] In situ synthesis of a gamma-Al<sub>2</sub>O<sub>3</sub> whisker reinforced aluminium matrix composite ... [8] Fabrication of aluminum–carbon nanotube composites and their electrical properties. [9] Combination of hot extrusion and spark plasma sintering for producing carbon nanotube reinforced aluminum ... [10] Composites Part A: Appl. Sci. [11] Carbon nanotube reinforced aluminum composite fabricated by semi-solid powder processing. [12] Mechanically alloyed nanocomposites. [13] Structural and magnetic properties of Co/Al<sub>2</sub>O<sub>3</sub> cermet synthesized by mechanical ball milling. [14] Influence of milling time on the crystallite size of AlSi5Cu2/SiC composite powder. [15] mechanical and wear characterization of silicon carbide reinforced Aluminium 7075 metal matrix composite. [16] Production and Characterization of Al-SiC Composites by Mechanical Milling. [17] Study of Al 2017 alloy prepared by recycling method via powder metallurgy route. [18] A novel method for the production of metal powders without conventional atomization process. [19] The Bragg equation derived. [20] Impact of silver doping on the crystalline size and intrinsic strain of MPA-capped CdTe nanocrystals... [21] Processing of advanced materials using high-energy mechanical milling. [22] The mechanism of mechanical alloying. [23] Mechanical alloying and milling. [24] Effect of mechanical alloying on the morphology, microstructure and properties ... [25] Fabrication and characterization of Al6063/SiC composites.

### \*Correspondence

Address: Department of Advanced Technologies, University of Mohaghegh Ardabili, Ardabil, Iran.  
Phone: -  
Fax: -  
r\_meshkabadi@uma.ac.ir

### Article History

Received: July 31, 2021  
Accepted: September 19, 2021  
ePublished: December 25, 2022

نقص و توزیع همگن فاز تقویت‌کننده از موضوع‌های اصلی ساخت کامپوزیت‌های زمینه فلزی است<sup>[2]</sup>. آلومینیوم، منیزیم و تیتانیوم عمدتاً به عنوان ماده زمینه در کامپوزیت‌های زمینه فلزی مورد استفاده قرار می‌گیرند. آلیاژهای آلومینیوم به دلیل چگالی کم، مقاومت در برابر خوردگی، رسانایی بالا و هزینه ساخت پایین، پرکاربردترین مواد در تحقیقات و صنعت هستند. از بین آلیاژهای آلومینیوم، آلیاژ Al6063 به طور گسترده‌ای مورد استفاده قرار می‌گیرد زیرا دارای مزایایی مانند قابلیت جوش‌پذیری خوب، مقاومت در برابر خوردگی و مصونیت در برابر ترک خوردگی در برابر

تنش (SCC) است<sup>[3]</sup>.

کاربید سیلیسیم (SiC)، آلومینا ( $Al_2O_3$ )، کاربید بور ( $B_4C$ )، کاربید تنگستن (WC)، گرافیت (Gr)، نانولوهای کربنی (CNT) و سیلیسیس ( $SiO_2$ ) برخی از ذرات سرامیکی هستند که به عنوان فاز تقویت‌کننده در ساخت کامپوزیت‌ها مورد مطالعه قرار گرفته‌اند. کاربید سیلیسیم به دلیل خواصی مانند چگالی کم، استحکام بالا، انبساط حرارتی کم، رسانایی گرمایی بالا و همچنین عدم واکنش زیان‌آور در دمای بالا، گزینه مناسبی به عنوان فاز تقویت‌کننده است<sup>[4]</sup>. کامپوزیت‌های زمینه فلزی آلومینیوم که با کاربید سیلیسیم تقویت شده‌اند، مقاومت و سختی خوبی نسبت به آلومینیوم دارند و بیشتر در صنایع هوا فضا، خودروسازی و صنایع الکترونیک مورد استفاده قرار می‌گیرند<sup>[5]</sup>.

دستیابی به توزیع همگن فاز تقویت‌کننده در زمینه فلزی برای نشان دادن عملکرد برتر ماده مرکب الزامی است و هر چه تقویت‌کننده دارای پراکندگی یکنواخت بدون کلوخه‌ای شدن باشد منجر به کیفیت بهتر کامپوزیت می‌شود. فرآیندهای ساخت اثر مهمی بر پراکندگی یکنواخت فاز تقویتی و خواص مکانیکی مانند استحکام کششی، مقاومت در برابر ضربه، سختگی و همچنین مقرن به صرفه بودن دارند<sup>[6]</sup>. روش‌های مختلفی برای تولید کامپوزیت‌های زمینه فلزی آلومینیوم وجود دارند که می‌توان به روش‌هایی مانند تف‌جوشی<sup>[7]</sup>، اکستروژن گرم<sup>[8]</sup>، تف‌جوشی به کمک قوس پلاسمای<sup>[9]</sup>، ریخته‌گری<sup>[10]</sup>، فرایند پودری نیمه جامد<sup>[11]</sup> و آلیاژسازی مکانیکی<sup>[12]</sup> در چند سال گذشته اشاره کرد. در روش‌های تولید مبتنی بر پودر، آلیاژسازی مکانیکی به طور گسترهای برای دستیابی به توزیع یکنواخت ذرات در زمینه با موفقیت به کار گرفته شده است. فرایند آسیای مکانیکی-آلیاژسازی مکانیکی شامل قراردادن پودرهای ترکیبی اولیه یا آلیاژی در یک ظرف حاوی گلوله‌های فولادی، برای تغییر شکل شدید است. در تحقیقات اخیر اثر متغیرهایی مانند اندازه گلوله‌ها، نسبت وزنی گلوله به پودر، زمان آسیا و سرعت آن مورد بررسی قرار گرفته است تا شرایط بهینه برای بهبود خواص بررسی شود<sup>[13]</sup>.

سوسنیاک و همکاران<sup>[14]</sup>، پودر کامپوزیت  $AlSi5Cu2/SiC$  را از روش آلیاژسازی مکانیکی براده‌های  $AlSi5Cu2$  به همراه ۰، ۱۰، ۱۵ و ۲۰ درصد وزنی پودر تقویت‌کننده کاربید سیلیسیوم در آسیای

## بررسی تاثیر متغیرهای فرایند آسیای مکانیکی و آلیاژسازی مکانیکی به منظور تهیه پودر کامپوزیتی Al6063-SiC از براده‌های آلیاژ آلومینیوم

پریسا فکری دولت آباد

مهندسی مکانیک، گروه مهندسی ساخت و تولید، دانشگاه تبریز، ایران.

وحید پویافر

مهندسی مکانیک، گروه مهندسی ساخت و تولید، دانشگاه تبریز، ایران.

رامین مشک آبادی \*

مهندسی مکانیک، دانشکده فناوری‌های نوین، دانشگاه حقوق اردبیل، اردبیل، ایران.

### چکیده

ریزساختار بدون نقش کامپوزیت‌های زمینه فلزی، توزیع یکنواخت ذرات و خواص خوب آن‌ها، توسط متغیرهای روش تولید و مواد زمینه و تقویت‌کننده تعیین می‌شود. در این تحقیق از آسیای گلوله‌ای سیارهای با انرژی بالا برای ساخت پودر کامپوزیتی Al6063-SiC استفاده شده است. براده‌های آلومینیوم با زمان و نسبت وزنی گلوله به پودر (BPR) مختلف در آسیای گلوله‌ای سیارهای با انرژی بالا آسیاکاری شدند. پودر بهینه حاصله، با افزودن درصدهای وزنی مختلف کاربید سیلیسیم (SiC) با نسبت وزنی گلوله به پودر در زمان‌های مختلف، آسیاژسازی مکانیکی گردیدند. طی فرایند آسیاکاری تحت جو آرگون، از اسید استناریک به عنوان عامل کنترل فرایند (PCA) برای جلوگیری از جوشکاری سرد پیش از حد و کلوخه‌ای شدن پودر استفاده شده است. پس از آلیاژسازی مکانیکی، تاثیر متغیرهای فرایند شامل زمان آسیاژسازی، نسبت وزنی گلوله به پودر و درصد وزنی کاربید سیلیسیم با مقادیر مختلف بر روی پودر کامپوزیتی از نظر مورفولوژی توسط آنالیز اندازه ذرات (PSA) و میکروسکوپ الکترونی روبشی نشر میدانی (FESEM) و از نظر ترکیبات فازی توسط طیفسنجی پراش اشعه ایکس (XRD) مورد بررسی قرار گرفت. با توجه به الگوی پراش اشعه ایکس نمونه‌ها، اندازه دانه از طریق مدل ویلیامسون-هال محاسبه گردید. نتایج حاصل از انجام فرایند آسیای مکانیکی و آلیاژسازی مکانیکی نشان داد که در زمان‌های آسیای کوتاه با نسبت وزنی گلوله به پودر بالا می‌توان به پودر کامپوزیتی با اندازه ذرات ریزتر دست یافت. همچنین وجود ذرات تقویت‌کننده کاربید سیلیسیم موجب تسريع در فرایند آسیای مکانیکی شده و کاهش بیشتر اندازه ذرات را موجب می‌شود.

**کلیدواژه‌ها:** کامپوزیت‌های زمینه فلزی، آسیای مکانیکی براده‌ها، آلیاژسازی مکانیکی، کامپوزیت  $Al6063-SiC$

تاریخ دریافت: ۱۴۰۰/۰۵/۰۹

تاریخ پذیرش: ۱۴۰۰/۰۶/۲۸

\*نویسنده مسئول: r\_meshkabadi@uma.ac.ir

### -۱- مقدمه

کامپوزیت‌های زمینه فلزی دسته‌ای از مواد با زمینه فلزی هستند که با فازهای مختلفی از ذرات تقویت‌کننده همچون سرامیک‌ها ترکیب شده‌اند. خواص کامپوزیت‌ها توسط مواد زمینه، مواد تقویت‌کننده و روش تولید کنترل می‌شود. کامپوزیت‌های زمینه فلزی دارای مزایایی مانند نسبت مقاومت به وزن بالا، مدول الاستیسیته بالا، ضربیب انبساط حرارتی پایین، مقاومت در برابر سایش و غیره نسبت به مواد معمولی هستند<sup>[1]</sup>. ریزساختار بدون



شکل (۱) براده‌های ماشینکاری شده آلیاژ Al6063

از تولید حرارت و تاثیر آن بر ریزاساختار براده‌ها، در حین ماشینکاری از آب صابون استفاده شد. ترکیب شیمیایی آلیاژ توسط آزمون اسپکترومتری انجام شد و درصد وزنی عناصر موجود در جدول ۱ آورده شده است.

**۲-۲- آسیای مکانیکی براده‌ها و بررسی فرایند آسیاکاری**  
تهیه‌ی پودر از براده‌های بازیافتنی توسط متالوژی پودر روش تولیدی جدیدی است<sup>[۱۷]</sup>. آسیای مکانیکی براده‌های شکل‌پذیر، متفاوت از حالتی است که از ذرات پودر به عنوان ماده‌ی اولیه استفاده می‌شود. روش تولید یکی از تفاوت‌های مهم بین براده و پودر است. اکثر پودرهای فلزی توسط روش انجماد سریع تولید می‌شوند؛ اما براده‌ها از فلزات تولیدشده به روش ریخته‌گری به دست می‌آید. تفاوت‌های قابل توجهی بین خواص پودر و براده از قبیل ریزاساختار، خواص فیزیکی و مکانیکی به علت تفاوت در روش تولید وجود دارد که در فرایند آسیاکاری تأثیر می‌گذارند<sup>[۱۸]</sup>. از آسیای گلوله‌ای سیاره‌ای با انرژی بالا که در شکل ۲ نشان داده شده است، برای انجام فرایند آسیای مکانیکی استفاده گردید. این آسیا دارای دو کاپ به حجم ۲۵۰ میلی‌لیتر از جنس پلیمر سخت است و گلوله‌های داخل آن از جنس فولاد ضدزنگ می‌باشند. برای جلوگیری از اکسید شدن و آلدگی براده‌ها و پودرها به گلوله‌ها گاز آرگون استفاده شد. به منظور عدم چسبندگی پودرها به گلوله‌ها و به دیواره‌های آسیا و جلوگیری از جوش سرد در حین فرایند، از یک درصد وزنی اسید استئاریک به عنوان عامل کنترل فرایند

جدول (۱) ترکیب شیمیایی آلیاژ Al6063

عنصر	درصد وزنی
آلومینیوم	۹۸/۱۵
روی	۰/۱
منزیم	۰/۸
مس	۰/۱
سیلیسیوم	۰/۴
آهن	۰/۵
کرم	۰/۱
منگنز	۰/۱
تیتانیوم	۰/۱

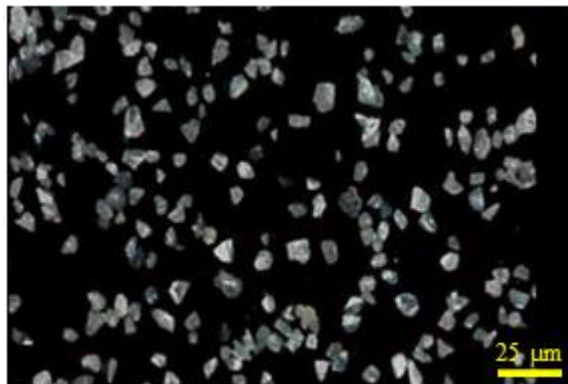
گلوله‌ای سیاره‌ای با گلوله‌های از جنس فولاد ضدزنگ با موقیت تولید کردند. آنها نشان دادند که با افزایش زمان آلیاژسازی، اندازه دانه‌ها کاهش یافته و در عین حال کوچکتر از اندازه دانه‌های نمونه‌های بدون افزودن کاربید سیلیسیوم می‌شوند. سوریا و همکاران<sup>[۱۵]</sup>، خواص مکانیکی و تربیلوژی کامپوزیت-Al7075-SiC ساخته شده با سه درصد وزنی مختلف (۵، ۱۰ و ۱۵ درصد) کاربید سیلیسیم را مورد بررسی قرار دادند. بررسی ریزاساختاری، پراکندگی یکنواخت ذرات کاربید سیلیسیم و اتصال سطحی خوب بین زمینه و تقویت‌کننده را تأیید نمود و کامپوزیت تقویت شده با ۱۵ درصد وزنی کاربید سیلیسیوم خواص مکانیکی بهتری از خود نشان داد. شیمشک و همکاران<sup>[۱۶]</sup> تأثیر مقدار کاربید سیلیسیوم و زمان آسیاکاری را بر ریزاساختار، چگالی و سختی کامپوزیت‌های تولیدشده توسط آسیای مکانیکی را بررسی کردند. مشاهده شد که با افزایش مقدار کاربید سیلیسیوم و زمان آسیاکاری، اندازه پودرهای تولیدی کاهش یافته و مقادیر سختی آن افزایش می‌یابد. با افزایش مقدار کاربید سیلیسیوم چگالی کامپوزیت‌های آلومینیومی افزایش یافت. دوانیان و همکاران<sup>[۱۵]</sup>، خواص مکانیکی آلیاژ آلومینیوم Al7075 تقویت شده با کاربید سیلیسیوم و کاربید تیتانیوم از طریق متالورژی پودر را بررسی کردند. آنها نشان دادند که با افزایش میزان تقویت‌کننده‌ها، سختی ماده کامپوزیت افزایش می‌یابد.

در تحقیقات اخیر اثر متغیرهایی مانند اندازه گلوله‌ها، نسبت وزنی گلوله به پودر، زمان آسیا، سرعت آسیا و... به طور جداگانه مورد بررسی قرار گرفته است تا شرایط بهینه برای بهبود خواص ساختاری، مکانیکی، الکتریکی و مغناطیسی بررسی شود. اگرچه برخی از مطالعات از بهبود خواص مکانیکی خبر می‌دهند، کامپوزیت‌های زمینه فلزی تقویت شده با ذرات سرامیکی با چالش‌های مختلفی روبرو هستند. پراکندگی یکنواخت فاز تقویتی از مهمترین نگرانی‌ها بوده است. در این تحقیق از آلیاژسازی مکانیکی (آسیای گلوله‌ای) به عنوان ابزاری موثر برای پراکندگی فاز تقویتی استفاده شده است. در این تحقیق از آسیای گلوله‌ای سیاره‌ای انرژی بالا برای ساخت پودر کامپوزیتی-Al6063-SiC استفاده شده است. پس از آلیاژسازی مکانیکی، تأثیر متغیرهای فرایند شامل زمان آسیا، نسبت وزنی گلوله به پودر و درصد وزنی کاربید سیلیسیم، با مقادیر مختلف بر روی پودر کامپوزیتی زمینه فلزی، از نظر مورفولوژی و ترکیبات فلزی مورد بررسی قرار گرفته است.

## ۲- مواد و روش‌ها

### ۱-۲- بررسی اولیه براده‌های Al6063

در این تحقیق ابتدا شمش آلیاژ آلومینیوم Al6063 توسط دستگاه فرز به براده‌هایی با متوسط اندازه  $2 \times 4$  میلی‌متر ماشینکاری شدند. در شکل ۱ تصویر این براده‌ها نشان داده شده است. برای جلوگیری



شکل ۳) تصویر میکروسکوپ نوری ذرات کاربید سیلیسیم.

قانون برآگ با تغییر فاصله بین صفحات کریستالی زاویه‌ای که پیک در آن دیده می‌شود، تغییر می‌کند. از این رو تغییر فاصله بین صفحات کریستالی منجر به پهن شدگی پیک می‌گردد<sup>[19]</sup>. با توجه به مدل ارائه شده توسط ویلیامسون-هال، تغییر پهنه‌ای پیک بر اثر کرنش‌های شبکه‌ای از رابطه (۱) به دست می‌آید<sup>[20]</sup>.

$$\beta \cos \theta = 4\epsilon \sin \theta + \frac{k\lambda}{D} \quad (1)$$

که در آن  $\beta$  پهن شدگی پیک بر حسب رادیان،  $\theta$  زاویه برخورد پرتو تابشی به صفحه اتمی بر حسب رادیان،  $\epsilon$  تغییر نسبی فاصله صفحات بلوری یا کرنش شبکه،  $k$  ثابت شر،  $\lambda$  طول موج اشعه ایکس تابشی بر حسب آنگستروم و  $D$  اندازه ذرات بر حسب نانومتر است. ویلیامسون و هال اندازه دانه و کرنش‌های درون شبکه‌ای را عامل پهن شدگی پیک‌های حاصل از پراش پرتو ایکس معرفی کردند. تعیین اندازه دانه و کرنش شبکه به روش ویلیامسون-هال مطابق با رابطه (۱) و با استفاده از نرم افزارهای Xpert High Score و Excel انجام شد.

### ۳- نتایج و بحث

#### ۱-۳- بررسی تاثیر همزمان زمان آسیاکاری و نسبت وزنی گلوله به پودر در فرایند آسیای مکانیکی

به طور کلی، سه سازوکار اصلی برای تغییرات مورفولوژیکی ذرات در فرآیند آسیای مکانیکی وجود دارد: (۱) سازوکار تغییر شکل پلاستیک، (۲) سازوکار جوشکاری سرد و (۳) سازوکار شکست. در مرحله اول، ذرات پودر در اثر شکست و سازوکار تغییر شکل پلاستیک روی یکدیگر می‌لغزند. در مرحله دوم، ذرات پودر تغییر شکل می‌دهند و کمی تغییر شکل الاستیک و پلاستیک و جوشکاری سرد بین آنها اتفاق می‌افتد. در مرحله سوم، ذرات پودری دچار کار-سختی شده و فرایندهای شکست و جوشکاری سرد به تعادل می‌رسند<sup>[21]</sup>.

شکل ۴) تصویر FESEM برادهای آسیاکاری شده را نشان می‌دهد. در طی آسیای مکانیکی، مورفولوژی برادهای دچار شکست مداوم شده است. تغییر شکل پلاستیک، جوشکاری سرد و شکست ذرات



شکل ۲) آسیای گلوله‌ای سیاره‌ای با انرژی بالا مورد استفاده در فرایند آسیای مکانیکی

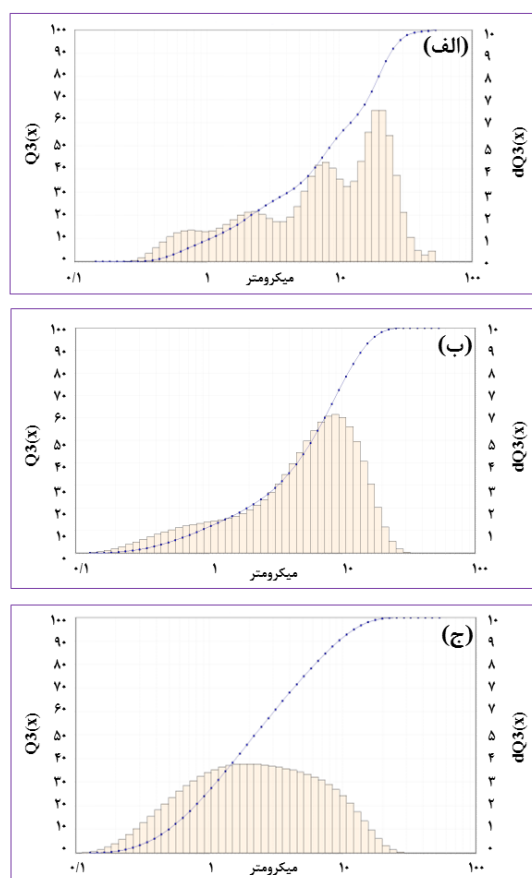
استفاده شد. برای به حداقل رساندن جوش سرد و جلوگیری از بالا رفتن دما، پس از هر نیم ساعت آسیا فرایند به مدت ۱۰ دقیقه متوقف گردید. برادهای کاپ‌های حاوی گلوله‌ها و تحت جوآرکون با سرعت چرخش ۲۵۰ دور در دقیقه و در سه زمان مختلف ۱، ۳ و ۵ ساعت با چهار نسبت وزنی گلوله به پودر ۱:۱، ۱:۳، ۱:۵ و ۱:۲۰ پس از آسیاکاری شدن. پودر حاصل پس از آسیای برادهای، از نظر اندازه ذرات و مورفولوژی مورد تجزیه و تحلیل قرار گرفت. اندازه ذرات توسط دستگاه سنجش اندازه ذرات و مورفولوژی پودر توسط میکروسکوپ الکترونی روبشی نشر میدانی (FESEM) تعیین گردید. پس از بررسی پودر از لحاظ ساختاری و مورفولوژی، پودر بهینه مورد استفاده برای مرحله بعد انتخاب گردید.

**۳-۲- آلیاژسازی مکانیکی پودر براده آسیا شده با ذرات تقویت‌کننده**  
پودر بهینه آلیاژ Al6063 حاصل از برادهای در مرحله قبل، پس از الک کردن با مشن ۱۲۰ به عنوان ماده زمینه برای انجام فرایند آلیاژسازی مکانیکی مورد استفاده قرار گرفت. پودر کاربید سیلیسیم با اندازه متوسط ۲ میکرون به عنوان ذرات تقویت‌کننده استفاده شد که تصویر میکروسکوپ نوری مربوط به آن در شکل ۳ نشان داده است. پودر آسیاکاری شده به همراه پودر کاربید سیلیسیم با ۱۰، ۱۵ و ۲۰ درصد وزنی در آسیای گلوله‌ای سیاره‌ای با انرژی بالا با سه نسبت وزنی گلوله به پودر مختلف ۱:۱، ۱:۳ و ۱:۵ در سه زمان مختلف ۱۵، ۳۰ و ۶۰ دقیقه آلیاژسازی مکانیکی شدن. از آنجاکه خواص مکانیکی کامپوزیت‌های زمینه فلزی تقویت شده به اندازه و نحوه توزیع ذرات بستگی دارد. لازم است تا تجزیه و تحلیل میکروسکوپی بر روی پودر حاصله انجام شود تا درک بهتری از ویژگی‌های ریز ساختاری آن حاصل شود و برای استفاده در مراحل بعد بهینه گردد. در این تحقیق، برای آنالیز فازی و بررسی ترکیبات بین فلزی از طیف‌سنج پراش اشعه ایکس (XRD) مدل D5000 ساخت شرکت زیمنس آلمان، با استفاده از تابش پرتو آند فلزی با طول موج ۱/۵۴  $Cu\text{ k}\alpha$  در ولتاژ ۴۰۰ کیلو ولت و جریان ۳۰ میلی آمپر انجام گرفت. الگوهای پراش اشعه ایکس در محدوده زاویه پراش (۲۰) بین ۱۵ الی ۸۰ درجه ثبت شده است. بر اساس

داده شده است. آن‌ها سازوکاری را توصیف کردند که در آن ذرات دچار تغییر شکل می‌شوند و مورفولوژی از حالت کروی به مسطح تغییر می‌کند. سپس، ذرات پهن شده به هم جوش خورده و ساختار لایه‌ای کامپوزیتی از فلزات سازنده را تشکیل می‌دهند. معمولاً این مرحله با افزایش اندازه ذرات همراه است. با افزایش زمان آسیا، شکنندگی ذرات افزایش می‌یابد، و ذرات تکه تکه می‌شوند و در ادامه سازوکارهای جوشکاری و شکست به تعادل می‌رسند. مرحله نهایی، فرایند حالت پایدار است که در آن اندازه ذرات و توزیع آن‌ها تقریباً یکسان باقی می‌مانند.

۲-۳- بررسی تأثیر همزمان زمان آسیا و نسبت وزنی گلوله به پودر در فرایند آلیاژسازی مکانیکی

آلیاژسازی مکانیکی یک تکنیک قدرتمند حالت جامد برای ساخت آلیاژهای نانوکریستالی و نانوکامپوزیت‌های همگن است که شامل تغییر شکل مکرر، جوشکاری سرد و شکست در آسیای گلوله‌ای با



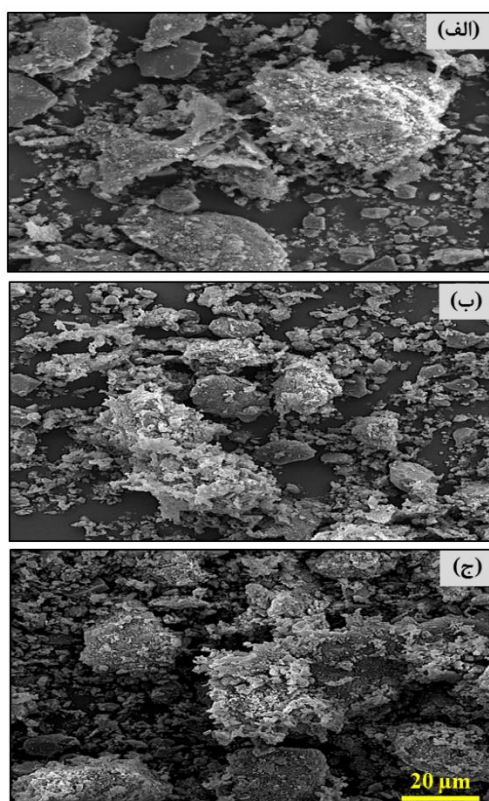
شکل ۵) منحنی توزیع اندازه ذرات پودر آسیاشده براده‌های آلیاژ Al6063 پس از (الف) ۵ ساعت آسیا با ۱:۱۰، (ب) ۵ ساعت آسیا با ۱:۱۵ و (ج) ۳ ساعت آسیا با ۱:۲۰ BPR

جدول ۲) مقادیر قطر معادل و توزیع اندازه ذرات پودر آلیاژ Al6063 در فرایند آسیای مکانیکی

$D_{90} - D_{10}$	$D_{50}$	نسبت وزنی گلوله به پودر	زمان آسیا (ساعت)
۵۲/۰۴	۱۰/۷۱	۱۰:۱	۵
۳۹/۳۶	۹/۱۳۴	۱۵:۱	۵
۱۴/۷۲	۴/۰۷۴	۱۵:۱	۳

سازوکارهای غالب هستند که بر خواص ذرات آسیا کاری شده تأثیر می‌گذارند. براده‌ها در شکل ۴-الف که ۵ ساعت با نسبت وزنی گلوله به پودر ۱:۱۰ آسیا شده‌اند نسبت به براده‌های شکل ۴-ب با ۵ ساعت آسیا و نسبت وزنی گلوله به پودر ۱:۱۵، ظاهر درشت‌تری دارند. با افزایش نسبت وزنی گلوله به پودر در شکل ۴-ب فرکانس برخورد بین گلوله، براده و ظرف بیشتر شده و منجر به خرد شدن بیشتر براده‌ها شده است. شکل ۴-ج تصویر FESEM براده‌های آسیا کاری شده طی ۳ ساعت و با نسبت وزنی گلوله به پودر ۱:۱۰ را نشان می‌دهد. مشاهده می‌شود که در زمان پایین‌تر شکست بیشتری مشاهده می‌شود و مورفولوژی بیشتر براده‌ها به ذرهای تغییر کرده است. پس در زمان‌های پایین‌تر و نسبت وزنی گلوله به پودر بالاتر در طی فرایند آسیا کاری اثر شکست غالب بوده و خردشگی و ذرات ریزتری مشاهده می‌گردد.

شکل ۵ منحنی توزیع اندازه ذرات حاصل از آنالیز اندازه ذرات را برای همان براده‌ها نشان می‌دهد.  $D_{50}$ ، حداقل قطر معادل ذرات و  $D_{90} - D_{10}$ ، نشان‌دهنده گستره توزیع اندازه ذرات می‌باشد. نتایج محاسبه شده مربوطه در جدول ۲ آورده شده است. با بررسی منحنی توزیع اندازه ذرات، با افزایش نسبت وزنی گلوله به پودر و کاهش زمان آسیا، مقدار  $D_{50}$  کاهش یافته و توزیع اندازه ذرات نیز محدودتر شده است. سازوکار فرایند آسیا کاری مطابق سازوکاری است که توسط بنجامین و ولین<sup>[۲۲]</sup> برای سیستم شکل پذیر شرح



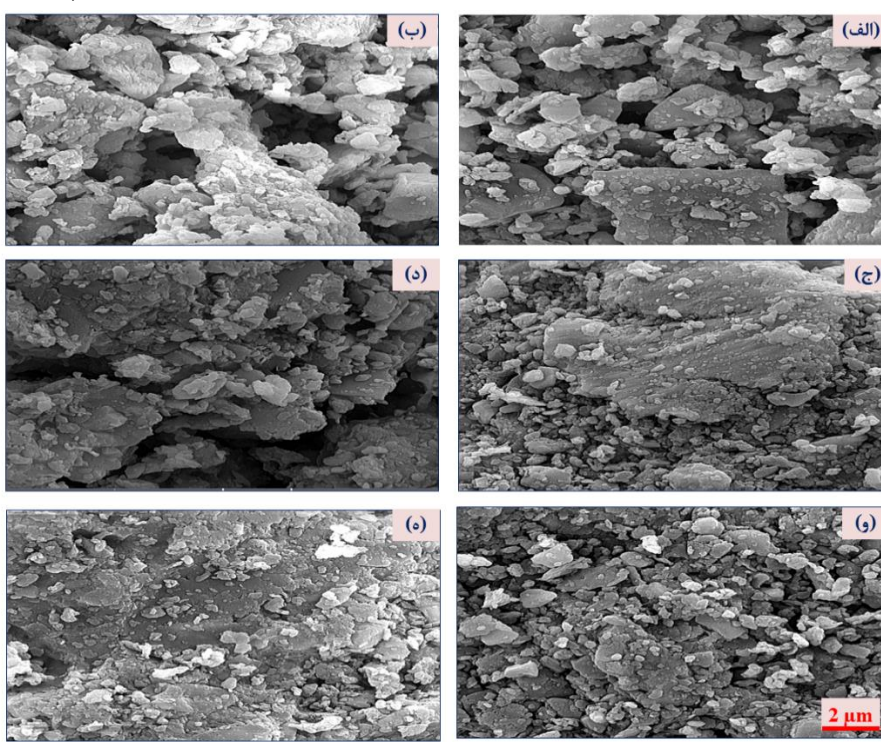
شکل ۶) تصویر FESEM پودر آسیاشده براده‌های آلیاژ Al6063 پس از (الف) ۵ ساعت آسیا با ۱:۱۰، (ب) ۵ ساعت آسیا با ۱:۱۵ و (ج) ۳ ساعت آسیا با ۱:۲۰ BPR

پودر حاصل از آسیای مکانیکی براده‌های آلیاژ آلومینیوم Al6063 با نسبت وزنی گلوله به پودر ۱۰:۱ با ۳ ساعت آسیاکاری، برای انجام فرایند آلیاژسازی مکانیکی مورد استفاده قرار گرفت. تصاویر FESEM پودر کامپوزیتی Al6063-SiC با ۵، ۱۰ و ۱۵ درصد وزنی تقویت‌کننده در زمان‌های مختلف آسیا با نسبت وزنی گلوله به پودر متفاوت در شکل ۶ نشان داده شده است. پودر Al6063-SiC تحت فرآیند آلیاژسازی مکانیکی، شکل‌پذیر و شکننده است، که دلیل اصلی آن تجمع ذرات شکننده در حضور ذرات آلومینیوم شکل‌پذیر است زیرا آلومینیوم فلزی با شکل‌پذیری بالا است که در آغاز، به دلیل عدم تعادل بین نسبت جوشکاری سرد و شکست ذرات پودر، تمایل به جمع شدن دارد. با افزایش نسبت وزنی گلوله به پودر در ابتدا تعادل نسبی بین نسبت جوش سرد و شکست برقرار می‌شود و سپس تمایل به شکست بیشتر از جوش سرد می‌شود. همانطور که با مقایسه تصاویر ۶-الف، ۶-ج و ۶-و نسبت به تصاویر ۶-ب، ۶-د و ۶-ه مشاهده می‌گردد.

در طی فرایند آلیاژسازی مکانیکی هنگامی که ذرات شکل‌پذیر آلومینیوم شروع به جوشکاری می‌کنند، ذرات تقویت‌کننده شکننده در اثر برخورد گلوله بین ذرات شکل‌پذیر قرار می‌گیرند. در نتیجه، ذرات تقویت‌کننده خردشده در مرزهای سطحی ذرات فلز جوش داده شده قرار می‌گیرند و منجر به تشکیل ذرات کامپوزیت زمینه فلزی Al6063-SiC می‌شوند. مطابق شکل (۶-و و ۶-ه) هر چه درصد ذرات تقویتی بیشتر باشد روند شکست تسریع می‌یابد. در نهایت فرآیندهای تغییر شکل، جوشکاری و پراکندگی ذرات تقویت‌کننده،

انرژی بالا است<sup>[23]</sup>. توجه به این نکته مهم است که خواص مکانیکی به دست آمده از محصولات آلیاژسازی مکانیکی به شدت به متغیرهای تلفیق و زمان بستگی دارد<sup>[24]</sup>. توزیع یکنواخت تقویت‌کننده در سراسر زمینه تأثیر قابل توجهی بر خصوصیات مکانیکی مواد کامپوزیتی دارد. دستیابی به پیوند بهتر بین زمینه و تقویت‌کننده‌ها و جلوگیری از تجمع ذرات چالش برانگیز است. در کامپوزیت‌های زمینه فلزی با افزایش درصد وزنی تقویت‌کننده‌ها به دلیل افزایش خواهش‌های ذرات یا تجمع در زمینه، خواص مکانیکی کاهش می‌یابد. آلیاژسازی مکانیکی یک تکنیک مناسب است که یک ریزساختار خوب و همگنی از زمینه و تقویت‌کننده را ارائه می‌دهد<sup>[6]</sup>.

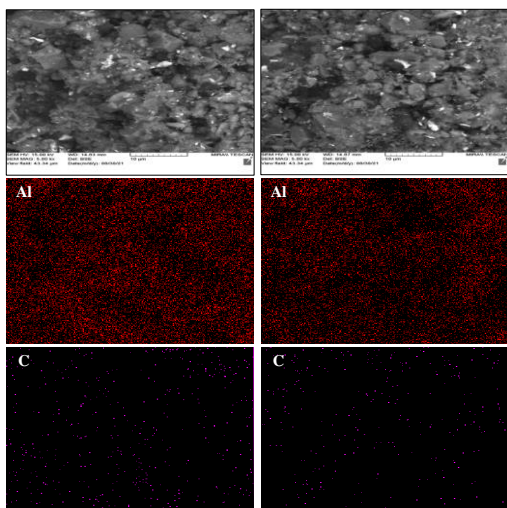
در فرایند آلیاژسازی مکانیکی سیستم شکل پذیر-شکننده در مرحله اول، ذرات شکل پذیر دچار تغییر شکل می‌شوند در حالی که ذرات شکننده دچار تکه شدن می‌شوند. هنگامی که ذرات شکل‌پذیر شروع به جوشکاری می‌کنند، ذرات شکننده در لحظه برخورد گلوله بین دو یا چند ذره شکل پذیر قرار می‌گیرند. در نتیجه، ذرات تقویت‌کننده خردشده در مرزهای سطحی ذرات فلز جوش داده شده قرار می‌گیرند و نتیجه آن تشکیل ذره کامپوزیتی واقعی است. از آنجا که جوشکاری سازوکار غالب فرآیند است، با انباسته شدن ذرات لایه‌ای مورفولوژی تغییر می‌یابد. این پدیده روند شکست را افزایش می‌دهد. سپس سازوکارهای جوشکاری و شکست به تعادل می‌رسند و باعث تشکیل ذرات کامپوزیتی با مرزهای سطحی به طور تصادفی می‌شوند<sup>[3]</sup>.



شکل ۶) تصاویر FESEM پودرهای کامپوزیتی Al6063-5wt%SiC پس از (الف) ۳۰ دقیقه آسیا با ۱:۲۰ BPR و (ب) ۶۰ دقیقه آسیا با ۱:۱ BPR تقویت شده با Al6063-10wt%SiC پس از (ج) ۳۰ دقیقه آسیا با ۱:۱ BPR و پودرهای کامپوزیتی تقویت شده با Al6063-15wt%SiC پس از (و) ۳۰ دقیقه آسیا با ۱:۱ BPR و (ه) ۶۰ دقیقه آسیا با ۱:۱ BPR

### ۳-۳- الگوی پراش اشعه ایکس پودرهای کامپوزیتی و محاسبه اندازه دانه

آنالیز XRD مفیدترین روش برای تجزیه و تحلیل کمی و کیفی ترکیبات است. این تکنیک اطلاعاتی مانند انواع و ماهیت فاز بلوری موجود، ساختار فازها، درجه بلوری، مقدار محتوای آمورف و ... را فراهم می‌کند که به هیچ وجه نمی‌توان از روش‌های دیگر به دست آورد. شکل ۹ نتایج حاصل از آنالیز طیف‌سنجی پراش اشعه ایکس (XRD)، را نشان می‌دهد. در شکل ۹ آنالیز پراش اشعه ایکس مربوط به پودر آلیاژ Al6063 آسیاکاری شده و پودر کامپوزیتی آلیاژ Al6063 با ۵ و ۱۰ درصد وزنی ذرات تقویت‌کننده کاربید سیلیسیم نشان داده است. در تجزیه و تحلیل XRD، پیک‌های مربوط به Al و SiC نشان داده شده است و عدم وجود هرگونه ترکیب واکنشی قابل توجهی مانند  $\text{Al}_4\text{C}_3$  و  $\text{SiO}_2$  مشاهده می‌گردد که وجود این ترکیبات باعث تفکیک ذرات می‌شود. تشکیل  $\text{Al}_4\text{C}_3$  شکننده در رابطه کامپوزیت معمولاً منجر به تخریب خصوصیات

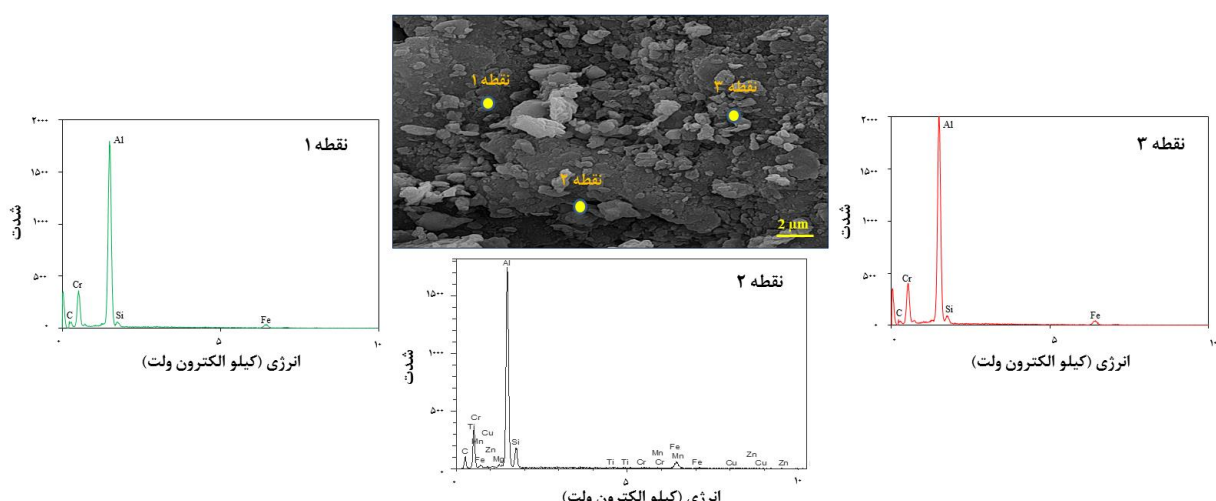


شکل ۸) آنالیز EDS-map از پودر کامپوزیتی در زمان ۶۰ دقیقه با BPR=20:1

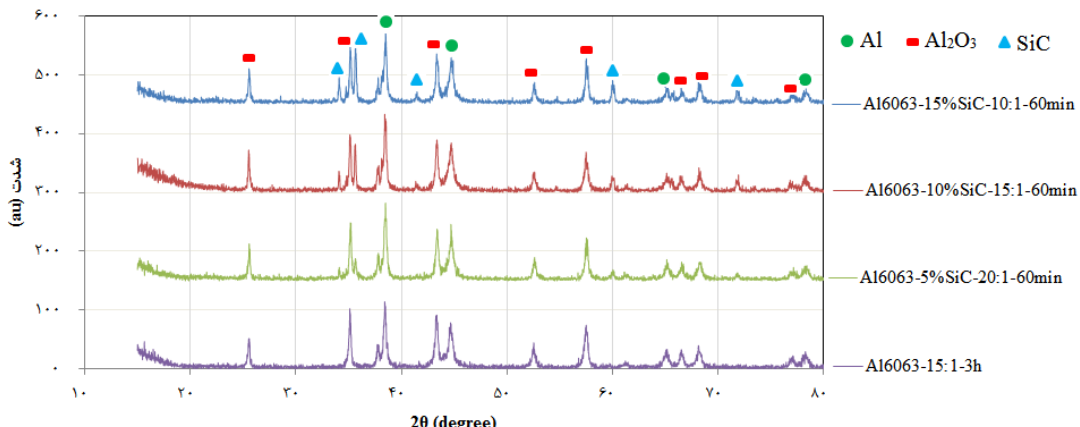
مواد را سخت کرده و سپس سازوکارهای جوشکاری و شکست به تعادل رسیده و ذرات کامپوزیتی تکه تکه شده تشکیل می‌شوند. بهبود سازوکارهای جوشکاری و شکست به دلیل وجود ذرات تقویت‌کننده ممکن است به این دلیل باشد که ذرات کوچک و شکننده در مخلوط به عنوان عامل کنترل فرایند، با بهبود انرژی سیستم عمل می‌کنند، بنابراین زمان آسیای لازم برای دستیابی به حالت پایدار را کاهش می‌دهد. اگر وجود تقویت‌کننده منجر به تغییر شکل زیاد زمینه فلزی شود و روند آلیاژسازی مکانیکی را پیش ببرد، درصد وزنی بالاتر تقویت‌کننده منجر به تغییر شکل بیشتر ذرات فلزی شده و روند را حتی بیشتر تسريع می‌کند. همچنین قابل ذکر است که مقدار شکست در (شکل ۶-و) نسبت به شکل ۶-۵) که در زمان کم و با نسبت وزنی گلوله به پودر بالاتر و تحت شرایط یکسان آلیاژسازی شده‌اند، بیشتر مشاهده می‌شود و ذرات تقویت‌کننده نیز به صورت یکنواخت در زمینه فلزی پراکنده شده‌اند.

آنالیز توزیع عنصری توسط توزیع انرژی طیف‌سنجی اشعه ایکس (EDS)، برای تعیین حضور ذرات تقویت‌کننده سیلیسیم کاربید در زمینه فلزی آلیاژ آلومینیوم Al6063 در سه نقطه مختلف، انجام شده است که نتایج آن در شکل ۷ نشان داده شده است. نتایج حاصله وجود ذرات پراکنده سیلیسیم کاربید را در داخل زمینه فلزی آلیاژ آلومینیوم Al6063 تایید می‌کند.

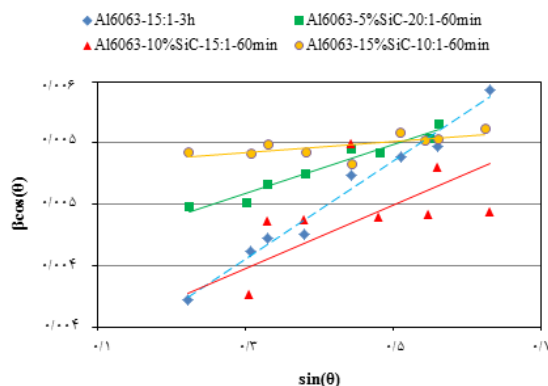
به منظور بررسی دقیق‌تر تشکیل آلیاژ و کامپوزیت‌شدن ترکیب و نحوه توزیع فاز تقویتی، نقشه عنصری (EDS-map) از پودر کامپوزیتی  $\text{Al}6063-10\%\text{SiC}$  آلیاژ شده به مدت ۶۰ دقیقه به  $\text{BPR}=20:1$  تهیه گردید که نتایج در شکل ۸ نشان داده شده است. برای درک بهتر توزیع فاز تقویتی و با توجه به وجود عنصر Si در داخل آلیاژ Al6063، نقشه عنصری کربن به عنوان نماینده فاز SiC در زمینه آلومینیوم از دو نقطه مختلف تهیه گردید. مشاهده می‌گردد که عنصر کربن در زمینه آلومینیوم پراکنده شده است و پودر کامپوزیتی تشکیل شده است.



شکل ۷) تصویر FESEM و آنالیز EDS پودر کامپوزیتی Al6063-10wt% SiC در زمان ۶۰ دقیقه با BPR=20:1



شکل ۹) الگوی پراش اشعه ایکس برای پودر آلیاژ Al6063-5wt% SiC، پس از ۳ ساعت آسیا با BPR=15:1، پودر کامپوزیتی Al6063-10wt% SiC با BPR=15:1 و پودر کامپوزیتی Al6063-15wt% SiC با BPR=10:1 پس از ۶۰ دقیقه آسیا با BPR=10:1



شکل ۱۰) نمودار ویلیامسون-هال برای نمونه‌های پودر کامپوزیتی

جدول ۳) مقادیر اندازه دانه به دست آمده از روش ویلیامسون-هال

	زمان آسیا	نسبت وزنی گلوله به پودر درصد وزنی SiC	اندازه دانه (نانومتر) (%)	RSD (%)
۱۲	۴۶/۲	۰	۱۵:۱	۳ ساعت
۵	۳۳/۸	۵	۲۰:۱	۶ دقیقه
۱۱	۳۲/۲	۱۰	۱۵:۱	۶ دقیقه
۲	۲۹/۴	۱۵	۱۰:۱	۶ دقیقه

تقویت‌کننده SiC به ترتیب  $33/8$ ,  $33/2$ ,  $32/2$  و  $29/4$  نانومتر کاهش یافته است. همچنین، اندازه دانه با افزایش محتوای SiC نیز کاهش می‌یابد. پس می‌توان گفت که ذرات تقویت‌کننده کاربید سیلیسیم به عنوان عامل فرایند موجب تسربیع فرایند آسیاکاری و کاهش اندازه دانه می‌شود همانطور که از نتایج حاصل از تصاویر FESEM نیز مشاهده شد.

#### ۴- نتیجه گیری

در این تحقیق پودر کامپوزیتی Al6063 تقویت شده با ذرات SiC، از طریق فرایند آسیاکاری مکانیکی در آسیای گلوله‌ای سیارهای با انرژی بالا، با درصدهای وزنی مختلف ذرات تقویت‌کننده و با متغیرهای مختلف زمان و نسبت وزنی گلوله به پودر، تهیه گردید. ریزساختار و مورفولوژی پودر کامپوزیتی مورد بررسی قرار گرفته و نتایج زیر حاصل شده است:

mekaniki, kahesh mqaomat stohji tقویت‌کننده/zmineh و afzayesh hassasiyat be xordegki mi‌shod. Hmchenin, be dili mahiyet Ab doost boudan, Al<sub>4</sub>C<sub>3</sub> baucht afzayesh surut rshd turk xstegi dr kamposozit‌haye zmineh flezri dr mohibet rtoobet mi‌shod. Teskil laieh SiC roei SiO<sub>2</sub> baucht troshondgi ضعيف mi‌shod ke dr nehayat menjer be tخلل mi‌shod.<sup>[25]</sup>

akrgeh faraind asiasi mekaniki-aliazasazi mekaniki dr yek mohibet tخت kontrol atmsfer (mohibet argon) anjam shd, ama brxi az piyehai mriyot be Al<sub>2</sub>O<sub>3</sub> niz mashaadeh shd. dr te fraind asiasiakari, brixord madaom bin poudar, glloleh and mohfazhe asiasi, menjer be temiz shdn stohj roei poudra (dron mohfazhe asiasi) mi‌shod. Akssidasiyon mungkin ast be dili moudar kmki akssizn dron argon ya be dili tamas ba jo hengam bredishten poudra az asiasi, roei ain stohj temiz rx ded.

brasas ttori aranehshde tooset wiliamsone-hal urşn piyek dr ncf shdt bishineh tabue az andaze danhe and kneshai dron shbkehai ast. ba astفاده az dadehaye mstxrig az roei algoi pراش اشعه ایکس و نرمافزار Xpert High Score, برای نمونه‌های poudar Al6063 و پودر کامپوزیتی آلیاژ Al6063 با ۵, ۱۰, ۱۵ درصد وزنی تقویت‌کننده کاربید سیلیسیم با درنظر گرفتن  $\sin\theta$  در امتداد محور  $X$  و  $\beta \cos\theta$  در امتداد محور  $Y$  رسم گردید که در شکل ۱۰ قابل مشاهده است. Mطابق مدل ویلیامسون-هال، اندازه دانه az طریق عرض از مبدا خود به دست آمده، محاسبه mi‌grdd. Mطابق نتایج شکل ۱۰، اندازه دانه برای هر کدام از نمونه‌ها از تقاطع نمودار با محور  $Y$  استخراج شده است. مقادیر به دست آمده در جدول ۳ آورده شده است.

ber asas ntaj be dst amde, mashaadeh shde ast ke ba afzordane drat tقویت‌کننده karbide silisim be zmineh Al6063 andaze danhe kahesh yafte ast. بعد az ۶۰ دقیقه asiasiakari, andaze danhe poudra kampozitii aliaz Al6063 ba ۵, ۱۰, ۱۵ درصد وزنی drat

**تعارض منافع:** مقاله حاضر هیچ گونه تعارض منافعی با اشخاص و سازمانهای دیگر ندارد.

**سهم نویسندها:** پریسا فکری (نویسنده اول: ۴۰٪)، وحید پویافر (نویسنده دوم: ۳۰٪)، رامین مشک آبادی (نویسنده سوم: ۳۰٪).

**منابع مالی:** منابع مالی این تحقیق توسط نویسندها مقامه تامین شده است.

### منابع

- 1- Ghasemi P, Rahmani O. An experimental investigation of energy absorption in GLARE fiber metal laminates reinforced by CNTs under low velocity impact. *Modares Mechanical Engineering*. 2018;18(8):81-91.
- 2- Sharma DK, Mahant D, Upadhyay G. Manufacturing of metal matrix composites: A state of review. *Materials Today: Proceedings*. 2020;26:506-19.
- 3- Asgharzadeh H, Simchi A, Kim H. In situ synthesis of nanocrystalline Al6063 matrix nanocomposite powder via reactive mechanical alloying. *Materials Science and Engineering: A*. 2010;527(18-19):4897-905.
- 4- Sattari S, Jahani M, Atrian A. Effect of volume fraction of reinforcement and milling time on physical and mechanical properties of Al7075-SiC composites fabricated by powder metallurgy method. *Powder Metallurgy and Metal Ceramics*. 2017;56(5):283-92.
- 5- Pradeep Devaneyan S, Ganesh R, Senthilvelan T. On the mechanical properties of hybrid aluminium 7075 matrix composite material reinforced with SiC and TiC produced by powder metallurgy method. *Indian Journal of Materials Science*. 2017;2017.
- 6- Samal P, Vundavilli PR, Meher A, Mahapatra MM. Recent progress in aluminum metal matrix composites: A review on processing, mechanical and wear properties. *Journal of Manufacturing Processes*. 2020;59:131-52.
- 7- Qu X, Wang F, Shi C, Zhao N, Liu E, He C, et al. In situ synthesis of a gamma-Al2O3 whisker reinforced aluminium matrix composite by cold pressing and sintering. *Materials Science and Engineering: A*. 2018;709:223-31.
- 8- Xu C, Wei B, Ma R, Liang J, Ma X, Wu D. Fabrication of aluminum–carbon nanotube composites and their electrical properties. *Carbon*. 1999;37(5):855-8.
- 9- Kwon H, Estili M, Takagi K, Miyazaki T, Kawasaki A. Combination of hot extrusion and spark plasma sintering for producing carbon nanotube reinforced aluminum matrix composites. *Carbon*. 2009;47(3):570-7.
- 10- Zhou S, Zhang X, Ding Z, Min C, Xu G, Zhu W. Composites Part A: Appl. Sci. 2007;38:301-6.
- 11- Wu Y, Kim G-Y. Carbon nanotube reinforced aluminum composite fabricated by semi-solid powder processing. *Journal of Materials Processing Technology*. 2011;211(8):1341-7.
- 12- Suryanarayana C, Al-Aqeeli N. Mechanically alloyed nanocomposites. *Progress in Materials Science*. 2013;58(4):383-502.
- 13- Aslbeiki B, Kameli P. Structural and magnetic properties of Co/Al2O3 cermet synthesized by mechanical ball milling. *Ceramics International*. 2020;46(12):20116-21.
- 14- Suśniak M, Pałka P, Karwan-Baczewska J. Influence of milling time on the crystallite size of AlSi5Cu2/SiC

(۱) متغیرهای فرایند نقش مهمی در فرایند آسیای مکانیکی دارند، به گونه‌ای که با مقایسه تصاویر میکروسکوپ الکترونی روبشی نشر میدانی و منحنی توزیع اندازه ذرات برای پودرهای آسیا شده در سه زمان مختلف آسیا با چهار نسبت وزنی گلوله به پودر، مشخص شد که در زمان‌های پایین آسیا با نسبت وزنی گلوله به پودر بالا می‌توان به پودر کامپوزیتی با اندازه ذرات ریزتر و توزیع مناسب تر دست یافت.

(۲) در فرایند آسیای مکانیکی، پودرآلیاژ Al6063 پس از ۵ ساعت آسیای مکانیکی با نسبت وزنی گلوله به پودر ۱۵:۱ در مقایسه با پودرآلیاژ Al6063 با ۵ ساعت آسیا و نسبت وزنی گلوله به پودر ۱۰:۱، مقدار  $D_{50}$  از ۹/۱۳۶ میکرومتر کاهش یافت و توزیع اندازه ذرات نیز از ۳۹/۳۶ به ۵۲/۰۴ و ۳۹/۳۶ میکرومتر محدودتر شد. در مقایسه با پودرآلیاژ Al6063 با ۳ ساعت آسیای و نسبت وزنی گلوله به پودر ۱۰:۱، با کاهش زمان آسیا مقدار  $D_{50}$  از ۹/۱۳۶ به ۴/۰۷۴ و ۴/۰۷۴ میکرومتر کاهش یافت و توزیع اندازه ذرات نیز از ۳۹/۳۶ به ۱۴/۷۲ میکرومتر محدودتر شد.

(۳) با مقایسه تصاویر میکروسکوپ الکترونی روبشی برای پودرهای حاصل از آلیاژسازی مکانیکی پودرآلیاژ Al6063 با ۱۰.۵ و ۱۵ درصد وزنی ذرات تقویت کننده کاربید سیلیسیم در سه زمان مختلف آسیا با سه نسبت وزنی گلوله به پودر، مشخص شد که وجود ذرات تقویت کننده کاربید سیلیسیم موجب تسريع در فرایند آلیاژسازی شده و کاهش بیشتر اندازه ذرات را موجب می‌شود.

(۴) با توجه به مدل ویلیامسون-هال، با افزودن ذرات تقویت کننده کاربید سیلیسیم به زمینه فلزی آلیاژ Al6063، اندازه دانه کاهش یافت.

(۵) پراکندگی یکنواخت ذرات تقویت کننده کاربید سیلیسیم داخل زمینه فلزی آلیاژ Al6063، توسط آنالیز عنصری EDS-map مورد تایید قرار گرفت.

(۶) در الگوی پراش اشعه ایکس برای پودرآلیاژ Al6063 تقویت شده با ذرات تقویت کننده کاربید سیلیسیم پیک‌های مربوط به Al و SiC قابل مشاهده است. اگرچه فرایند آسیای مکانیکی-آلیاژسازی مکانیکی در یک محیط تحت کنترل اتمسفر (محیط آرگون) انجام شد، اما برخی از پیک‌های مربوط به  $\text{Al}_2\text{O}_3$  نیز مشاهده شد.

**تشکر و قدردانی:** موردی وجود ندارد.  
**تاییدیه اخلاقی:** محتویات علمی مقاله حاصل پژوهش نویسندهان است و صحت نتایج آن نیز بر عهده آن ها است.

- composite powder. Archives of Metallurgy and Materials. 2016;61.
- 15-Surya MS, Gugulothu S. Fabrication, mechanical and wear characterization of silicon carbide reinforced Aluminium 7075 metal matrix composite. Silicon. 2021;1-10.
- 16-ŞİMŞEK D, SİMSEK İ, ÖZYÜREK D. Production and Characterization of Al-SiC Composites by Mechanical Milling. Bitlis Eren Üniversitesi Fen Bilimleri Dergisi. 2019;8(1):227-33.
- 17-Bhouri M, Mzali F. Study of Al 2017 alloy prepared by recycling method via powder metallurgy route. Advances in Materials, Mechanics and Manufacturing: Springer; 2020. p. 9-16.
- 18-Canakci A, Varol T. A novel method for the production of metal powders without conventional atomization process. Journal of Cleaner Production. 2015;99:312-9.
- 19-Dinnebier R, Billinge S. The Bragg equation derived. 2019.
- 20-Dey PC, Das R. Impact of silver doping on the crystalline size and intrinsic strain of MPA-capped CdTe nanocrystals: A study by Williamson-Hall method and size-strain plot method. Journal of Materials Engineering and Performance. 2021;30(1):652-60.
- 21-Zhang D. Processing of advanced materials using high-energy mechanical milling. Progress in Materials Science. 2004;49(3-4):537-60.
- 22-Benjamin JS, Volin T. The mechanism of mechanical alloying. Metallurgical Transactions. 1974;5(8):1929-34.
- 23-Suryanarayana C. Mechanical alloying and milling. Progress in Materials Science. 2001;46(1-2):1-184.
- 24-Fogagnolo J, Velasco F, Robert M, Torralba J. Effect of mechanical alloying on the morphology, microstructure and properties of aluminium matrix composite powders. Materials Science and Engineering: A. 2003;342(1-2):131-43.
- 25-Kamboj A, Kumar S, Singh H. Fabrication and characterization of Al6063/SiC composites. Proceedings of the Institution of Mechanical Engineers, Part B: Journal of Engineering Manufacture. 2013;227(12):1777-87.